

4. 縦杭先角度の異った摩擦杭の Point Resistance & Skin Friction についての一考察

広島大学 林 公重

本報告は第19回年次学術講演会に発表した続編である。

前記講演会に発表した要旨：支持力は杭先角度を考慮した場合、次の如く考へられる。

$$Q = A\gamma HK_p + \frac{1}{2}L\gamma(H-l_0)^2 KN - \frac{AL\gamma(H-l_0)^2 KN}{\pi(l_0\tan\alpha + r)(H\tan\alpha + r)} \quad \text{---(1)}$$

(1)式は図-1に示す如き実験条件下における式である。

$$Q = A\gamma HK_p + L\gamma H(h-l_0) KN - \frac{AL\gamma HKN \cot\alpha}{\pi(l_0\tan\alpha + r)} \quad \text{---(2)}$$

但し Q : 支持力, A : $\frac{\pi r^2(1+2\lambda+\frac{\pi}{2}+\cot\alpha)}{1+\frac{\pi}{2}\tan\alpha}$,
 γ : 土の単位重 (g/cm³), H : 杭の根入深さ (cm),
 K_p : $\tan^2(\frac{\pi}{4}+\frac{\alpha}{2})$, K : $1+\tan^2\phi$, L : $2\pi r$,
 h : 実験杭長 (cm), l_0 : 杭先長 (cm), α : 杭先角度,
 M : 摩擦係数, ϕ : 杭と土の摩擦角 (30°),
 λ : 土の内部摩擦角, r : 杭の半径 (cm)。

上式は模型杭 (直径 10mm) による支持力の実験結果には比較的良く一致するが point resistance, skin friction 個々については必ずしも相違があるので実験値は一応正しい値に近いものと考へ、式中の point resistance, skin friction と実験値が出来るだけ近似するための一考察を行つたものである。
 もの結果は次式で表わされる。

$$Q = \gamma(1+\frac{\pi}{2}+2\lambda+\cot\alpha)+\beta S_f + \gamma \quad \text{---(3)}$$

但し $\lambda = \frac{\pi r^2}{1+\frac{\pi}{2}\tan\alpha} \gamma HK_p$, $\beta = K\gamma H$, S_f : 杭の円筒部表面積, γ : 杭先杭周の影響によらない常数。

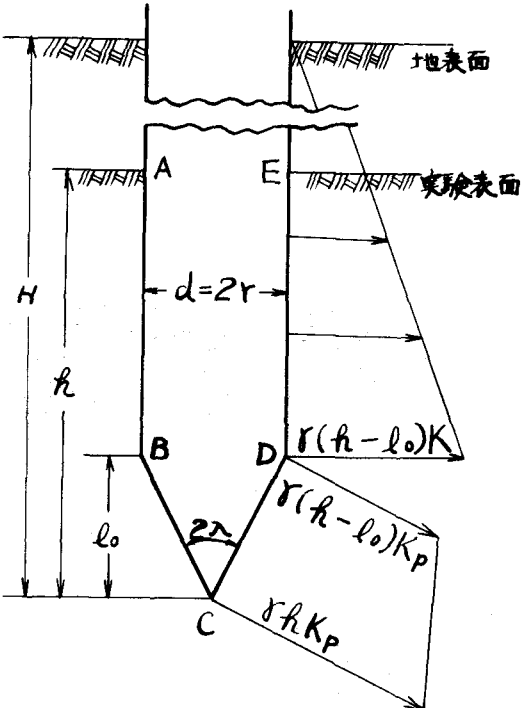
λ, β, γ は次表の如くなり

図-2, 3, 4 の X-Y 曲線にて示す如く万が一良い結果を得たが更に杭径 20mm, 40mm の実験を行つた結果満足出来た状態ではないので更に考察を加へたものが本報告である。

即ち、これら 3 種の直径の異なる模型杭の支持力は (2) 或は (3) 式の併用を用いても比較的良く一致するが point resistance, skin friction 個々に於いては杭径が大きくなると (3) 式を用いても実験値に近似し難くなる。

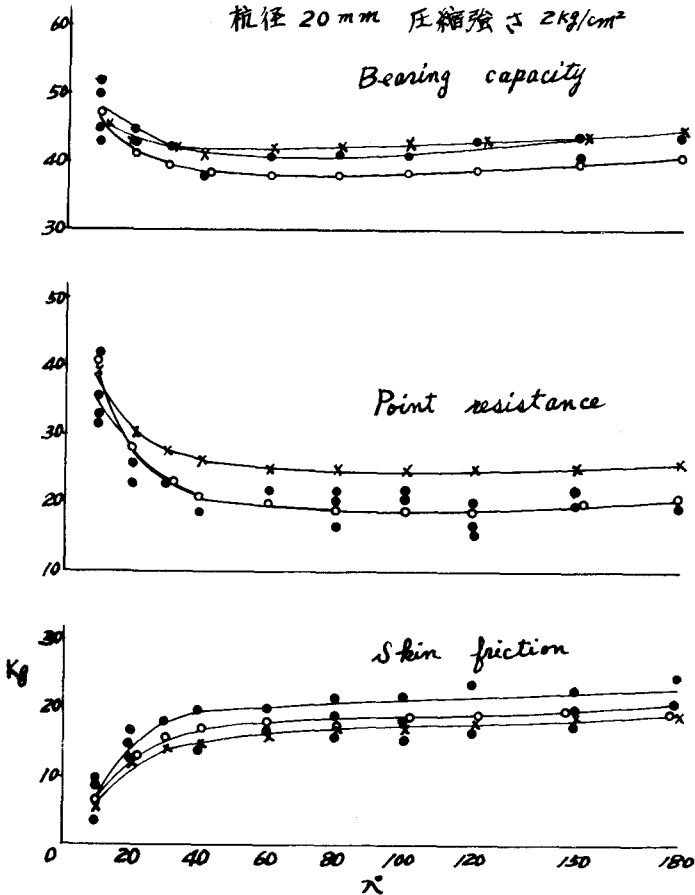
従つてこの原因を探究すると βS_f を skin friction と假定するため point resistance は $\gamma(1+\frac{\pi}{2}+2\lambda+\cot\alpha)+\gamma$ となり point resistance は実験値より稍大きくなり、skin friction は実

図 - 1



加压強さ kN/cm²	λ	β	γ
1	0.3921	0.0601	0.1892
2	0.6773	0.1121	3.6082
4	1.5450	0.2110	6.8180
8	2.7026	0.5269	14.7676

図 - 3



的方程式に纏めた必要がある。

Point resistance の場合、補正項は(9)式の如く纏め得たので skin friction の場合も同様に考へ纏めこと

$$2\pi r(\gamma H)K_u h + k_f(2r-a) = 2\pi r(\gamma H)K_u(h+\Delta h) \quad \dots \dots \dots (10)$$

(△h は補正項)

となつ事が期待され、以下この△h を定めてみるを表の如くである。

実験の誤差を考慮すると△h/h は 0.2 とみなしてよいように思われる。

この定数をもとよく(10)式は
 $(1+\delta)2\pi r(\gamma H)K_u h$ となる。

以上 $2\lambda \neq 180^\circ$ の場合に $= (1+\delta)2\pi r(\gamma H)K_u(h-l_0)$ として

実験値との誤差は小さく。従つて実験的方程式としては $(1+\delta)2\pi r(\gamma H)K_u(h-l_0)$ が skin friction と考へてよい。

斯く考へると(1)式は $\frac{1}{2}LK_u \gamma(H-l_0)^2$ の代りに $\frac{1}{2}(1+\delta)LK_u \gamma(H-l_0)^2$ をとる事になる。
 従つて(1)式は次の如き半理論式に書き替へられる。

$$Q = \left(\frac{1+\frac{\pi}{2}+2\lambda+cot\lambda}{1+r\frac{\pi}{2}\pi} + \Delta_p \right) (\gamma H) K_p \pi r^2 + \frac{1}{2}(1+\delta)LK_u \gamma(H-l_0)^2 \quad \dots \dots \dots (11)$$

次に实际上に役立てるため上式を実験の特殊事情に適用しないよう半理論式を書き代えよう

$$\Delta = \pi r^2 (\gamma H) K_p / (1 + \frac{3}{2}\pi)$$

$$\text{であるから (7) 式は} \\ \pi r^2 (\gamma H) K_p \left\{ \frac{1 + \frac{3}{2}\pi + 2\lambda + cot\lambda}{1 + \frac{3}{2}\pi} + \Delta_p \right\} \quad \dots \dots \dots (9)$$

の形になる。この Δ_p は $k_f r^2$ からくる寄與分である。

使用した杭径の大小により γH の値が異なるので前記 3種の杭の実験値から Δ_p を求めると $\Delta_p = 0.5$ となり。
 λ は入によらないものと考へてみると、こ Δ_p は入によらない定数と考へられる。

skin friction の補正量、
 $k_f(2r-a)$: 入は関係ない
 がら $2\lambda = 180^\circ$ の場合を考へておけばよい。

さて、実験で得られた skin friction (8) 式は

$$\text{Skin friction} = 2\pi r(\gamma H)K_u h + k_f(2r-a)$$

の形であるが、これを理論

駿値より稍、小さく表わされる傾向がある。従つて γ を更に吟味し、杭先及び杭周の影響によるものに再分離する必要があるものと考へられた。その一方法として次の如く考へてみた。

すは(3)式では杭先角度入

に關係しないものと考へてお

るが、 γ の成分で杭先に

関する要素は $\pi k_f r^2$ は比例し

杭周に關する要素は $2\pi k_f$

は比例すると云う事しが

利用出来ない。今杭先に

關する係数を k_p 、杭周に

關する係数を k_f と假定し

$$\gamma = k_p r^2 + k_f r \quad \dots \dots (4)$$

と本き杭径 20mm, 40mm の

γ を求めて、それを γ

$$\gamma = 13, 38 \text{ (kg)} \text{ と存す} \dots \dots (5)$$

(4)式中の k_p, k_f は次式から

求められた。

杭径 20mm の場合

$$k_p k_f = 1/3 \quad \dots \dots (5)$$

$$4k_p + 2k_f = 38 \quad \dots \dots (6)$$

$$(5), (6) \text{ 式より } k_p = 6, k_f = 7$$

となり、杭径 10mm, 20mm,

40mm の γ の point resistance 及び skin friction 分は次表の如くにした。

これららの値を(3)式の point resistance 及び skin friction にそれが加へ

ると、杭径 20mm の場合は良く一致するが、杭径 10mm の場合 $\gamma = 5$ とな

りて少々相違し、杭径 40mm の場合は幾らかの相違が認められる。

従つて改めて、先づ $k_f r$ の満足すべき補正値 Δ_f を実験値から求めると

$$\Delta_f = k_f(2r - a) \text{ (但し } a = 1 \text{ cm) の形で表わされた。}$$

従つて、より正確な關係式として(4)式の代りに $\gamma = k_p r^2 + k_f(2r - a) \quad \dots \dots (2)$

を假定す了事が出来た。

今 Δ_f は $k = k_f = 7, a = 1 \text{ cm}$ とおおく $\Delta_f = 0, 7, 21$ となる。

次に(2)式の k_p は、杭径 10mm, 20mm, 40mm の場合 $k_p = 6$ を適用すると $k_p r^2 = 1.5, 6, 24$ となる。

実験の誤差を考へると多大な値と考へられる。

以上の結果、実験的な支持力式として

$$\text{支持力} = \text{Point Resistance} + \text{Skin Friction}$$

と考へれば

$$\text{Point Resistance} = k_p r^2 + k_f(2r - a) + k_p r^2 \quad \dots \dots (7)$$

$$\text{Skin Friction} = \beta S_f + k_f(2r - a) \quad \dots \dots (8)$$

$$\text{但し } k_p = 6, k_f = 7, a = 1 \text{ cm}$$

となる。

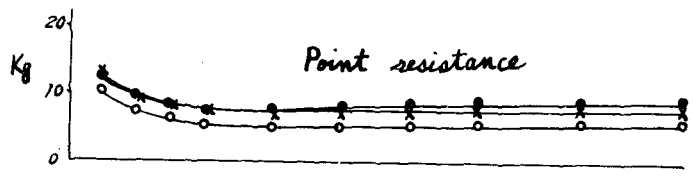
図 - 2

杭径 10mm 壓縮強さ 2 kg/cm^2

Bearing capacity



Point resistance



Skin friction

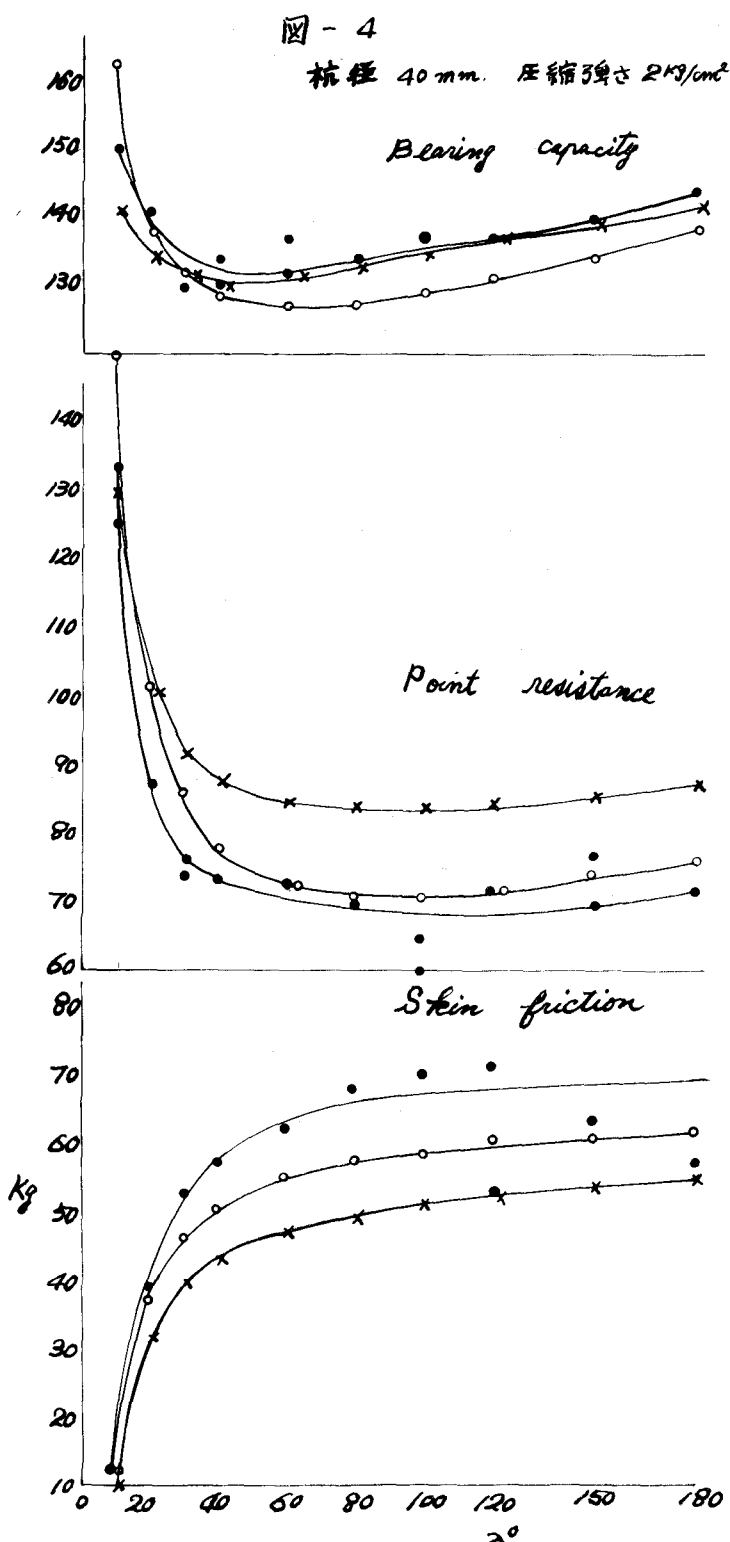


● : 実測値

$$\times : d(1 + \frac{\pi c}{2} + 2\lambda + \cot \lambda) + \beta S_f + \gamma$$

$$\circ : (A + \Delta p)(\gamma H) K_p \pi r^2 + \frac{1}{4}(1 + \beta) L K_u \gamma (H - l_z)^2$$

$\gamma \text{ kg}$	$k_p \text{ kg}$	$k_f \text{ kg}$
3.0	1.5	3.5
13.0	6.0	7.0
38.0	24.0	14.0



この第1項が point resistance,
第2項が skin friction で

$$\Delta_p = 0.5, \delta = 0.2 \text{ である。}$$

只この場合杭径 10 mm, 20 mm,
40 mm に於て (11) 式が (3) 式より
部分的に誤差が大きくなる
場合もあるが、これは実験誤
差と見做すより仕方がない。

また (11) 式は各計算結果から
みて次式の如く表わすべき
と考へられた。

$$Q = \frac{(1 + \frac{\pi}{2} + 2\lambda + \cot \lambda + \Delta_p)}{1 + \frac{\pi}{2}\lambda} \times \delta H K_p \pi R^2 \\ + \frac{1}{4} (1 + \delta) L K_u R \\ \times (H - L)^2 \quad (12)$$

(12) 式からみると第1項の
 Δ_p は参考文献(2)にみられた
如く、杭の貫入により杭先に於
いて土が締め固められた影響
を示し、第2項のは杭の貫入
により杭周に土の圧縮圏が
出来たための影響を示してゐる
ものと考へられた。

換言すれば、杭を貫入した
場合、周辺の土は密度が変化
して δ が (12) の如くになり
杭周の δ が杭打ち込み前と比べると
増加した事になり、見掛け上 δ だけ
杭径が大きくなつたとも考
へられた。

参考文献

- (1) 昭19回年次学術講演会概要 林公重
- (2) 土木学会論文集 105号
杭の支持力、先端抵抗、引抜抵抗におよぼす杭先の影響に関する模型実験的研究
- (3) 広島大学工学部政文紀要
杭先角度を考慮した場合の
杭の支持力について
- (4) 其の他